

پتانسیل تکوین در جنینهای فراگمنته انسان

پوپک افتخاری Ph.D.*، مجتبی رضازاده Ph.D.*، سعید کاظمی Ph.D.*، تقی الطریحی Ph.D.*

☆ پژوهشکده رویان، گروه جنین شناسی

☆ دانشگاه تربیت مدرس، دانشکده پزشکی، گروه علوم تشریح

✉ آدرس مکاتبه: تهران صندوق پستی: ۱۱۱-۱۱۱۵، دانشگاه تربیت مدرس، دانشکده پزشکی، گروه علوم تشریح

پست الکترونیک: Email: info@royaninstitute.org

چکیده

دریافت مقاله: ۸۳/۴/۲۰، پذیرش مقاله: ۸۳/۸/۱۰

*** هدف:** ارزیابی پتانسیل تکوین جنینهای فراگمنت شده انسانی (Fragmented Human Embryos) تا مرحله بلاستوسیست و ارزیابی کیفیت بلاستوسیستهای ایجاد شده از لحاظ اندازه، تعداد سلول، نوع توده سلولی داخلی و تروفواکتودرم و تعداد سلولهای مرده

*** مواد و روشها:** جنینهای دو تا هشت سلولی انسان که فراگمنت شده و برای انجماد نیز مناسب نبودند از آزمایشگاه جنین شناسی پژوهشکده رویان دریافت شد. درجه فراگمنتاسیون جنینها با استفاده از میکروسکوپ معکوس مشخص و بر اساس نحوه توزیع فراگمنتها، در چهار گروه قرار گرفتند (گروه I دارای کمترین میزان فراگمنت، گروه II دارای فراگمنتهای کوچک و پراکنده شده در لا به لای بلاستومرها، گروه III دارای فراگمنتهای بزرگتر تقریباً به اندازه یک بلاستومر و گروه IV فراگمنتها به شکل نکروتیک) و هر گروه به قطره جداگانه‌ای از محیط کشت ۲S2 منتقل و روند رشد و تکامل آنها تا روز ششم مورد ارزیابی قرار گرفت (لازم به ذکر است محیط کشت جنینها تا روز سوم محیط ۲S1 بود). تعداد، اندازه و کیفیت بلاستوسیستهای تشکیل شده، تعداد سلولهای توده سلولی داخلی و تروفواکتودرم با استفاده از رنگ آمیزی افتراقی و تعداد سلولهای مرده هر جنین (آپوتوتیک و نکروتیک) با استفاده از تکنیک TUNEL در هر جنین شمارش گردید و نتایج با آزمونهای آماری مجذور کای و آتالیز واریانس مورد تجزیه و تحلیل قرار گرفت.

*** یافته ها:** نتایج حاصله حاکی از آن است که درصد بالایی از جنینهای گروه IV در مرحله دو تا چهار سلولی توقف تقسیم داشتند و نیز در هر چهار گروه میزان بالایی در مرحله هشت سلولی تا مورولا توقف نمودند. میزان تشکیل بلاستوسیست در گروه I و II بیش از گروههای III و IV بود. همچنین یافته‌ها نشان داد که اندازه بلاستوسیستها در گروه IV به طور معنی داری از گروههای I و II کمتر بوده است. کیفیت بلاستوسیستها به خصوص از نظر توده سلولی داخلی در گروه I و II بهتر بوده و با گروه III و IV تفاوت داشت. نتایج حاصل از رنگ آمیزی افتراقی نیز نشان دهنده این امر است که نسبت سلولهای توده سلولی داخلی به کل سلولهای هر جنین در چهار گروه تفاوت معنی داری ندارد ولی متوسط کل سلولها، متوسط سلولهای ناحیه توده سلولی داخلی و متوسط تروفواکتودرم در هر جنین در گروههای I و II بیش از گروههای III و IV است و نیز نتایج حاصل از رنگ آمیزی TUNEL مؤید این مطلب است که هر چه تعداد فراگمنتها در جنین چهار سلولی بیشتر و اندازه آنها بزرگتر باشد، در مرحله بلاستوسیست تعداد سلولهای آپوتوتیک و نکروتیک بیشتر است.

*** نتیجه گیری:** هر چه میزان فراگمنتها در جنین انسان افزایش یابد، پتانسیل تکامل جنینها، اندازه بلاستوسیستها، کیفیت بلاستوسیستها، کیفیت و موقعیت توده سلول داخلی و تروفواکتودرم و تعداد کل سلولهای جنینی کاهش یافته، در عوض تعداد سلولهای مرده در بلاستوسیست افزایش می‌یابد.

کل واژگان: فراگمنت شدن، جنین انسان، مرحله بلاستوسیست، تکنیک TUNEL

نشریه پزشکی باقنه، سال ششم، پاییز ۸۳، شماره ۲۳، صفحات ۱۷۸-۱۴۸

مقدمه

عوامل گوناگونی می‌توانند در ایجاد پدیده فراگمنتاسیون دخیل باشند. شرایط نامساعد محیط کشت از قبیل افزایش H_2O_2 و رادیکالهای آزاد و میزان بالای O_2 و کمبود فاکتورهای رشد و عوامل بقای سلولها در محیط کشت (۳)، کیفیت گامتها مانند بلوغ شیمیایی غیر طبیعی و زود هنگام تخمکها در اثر تحریک گذاری (۴)، نقص در DNA اسپرم (۵) و ناهنجاریهای کروموزومی و هسته‌ای در

فراگمنتاسیون (قطعه قطعه شدن سلولهای یک جنین) پدیده شایعی است که در بیش از ۵۰ درصد جنینهای انسانی که در محیط *in vitro* رشد می‌کنند دیده می‌شود (۱). حاصل این پدیده تشکیل جنینهایی با بلاستومرهای غیر یکسان (از لحاظ اندازه و ظاهر سیتوپلاسم) است و بلاستومرهای درگیر بر خلاف بلاستومرهای سالم، منظم و گرد نبوده و در مشاهده زاویه دار به نظر می‌رسند (۲).

سلولهای جنین (۶، ۷) از جمله عواملی است که باعث ایجاد فراگمت در جنین می‌شود.

حضور این پدیده در جنین باعث آسیب به روند تکامل شده و اغلب منجر به توقف تقسیم و دژنره شدن جنین می‌گردد. چرا که وجود این قطعات در لابه‌لای بلاستومرها از ایجاد اتصالات بین سلولی طبیعی ممانعت نموده تکامل و رشد بعدی جنین را در مرحله compaction مختل می‌نماید (۸، ۹). به علاوه ادامه حضور این قطعات سلولی در جنینهای در حال رشد قبل از لانه‌گزینی که فاگوسیتوز نیز نمی‌شوند (به علت اینکه هنوز بلاستومرهای سالم قابلیت فاگوسیتوز را کسب نکرده‌اند) آنها را به سمت نکروز ثانویه پیش می‌برد و تأثیرات منفی روی سایر بلاستومرهای سالم می‌گذارد (۱۰).

در مورد مکانیسمهای ایجاد فراگمت‌های سلولی نظرات مختلفی وجود دارد. اکثر محققانی که در این زمینه مطالعه می‌کنند معتقدند که این فرآیند حاصل پدیده مرگ برنامه‌ریزی شده programmed cell death (PCD) و آپوپتوزیس است (۴). Jurisicova و همکارانش بر این عقیده‌اند که شواهد آپوپتوزیس از جمله تغییرات غشاء، حضور واکتولهای سیتوپلاسمی، متراکم شدن کروماتین، قطعه‌قطعه شدن DNA، هسته و سیتوپلاسم در بلاستومرهای جنین قابل مشاهده است (۱۰).

در سالهای اخیر تحقیقات متعددی در جنبه‌های مختلف پدیده فراگمت‌تاسیون انجام گرفته است. که یکی از آنها چگونگی رشد و تکامل این جنینها است. Hardy نشان داد که جنینهای فراگمت شده نسبت به جنینهای طبیعی و سالم در روز ۵ و ۶ پس از لقاح تعداد سلول کمتری دارند و تعداد سلولهای مرده در آنها نیز بیشتر از گروه کنترل است (۱۱). Alikani جنینهای فراگمت شده را بر اساس درجه و الگوی فراگمت‌تاسیون تقسیم‌بندی کرد و پس از برداشت فراگمتها به وسیله میکروسرجری، آنها را به مادر منتقل نموده و میزان حاملگی و لانه‌گزینی جنینها را گزارش کرد. وی نتیجه گرفت که؛ با اینکه با برداشت فراگمتها در میزان لانه‌گزینی و حاملگی بهبودی صورت می‌گیرد، لیکن هنوز هم در جنینهای با میزان بالای فراگمت، حاملگی و لانه‌گزینی پایین است و این کاهش وقتی که جنینها بصورت هموزئوس و یکسان انتقال یابند بیشتر خواهد بود (۸). مطالعات دیگری در جهت تأثیر فراگمت‌تاسیون بر روی حاملگی و نوزادان حاصل از جنینهای فراگمت صورت گرفته است و در تمام آنها بر این نکته تأکید شده است که هرچه میزان فراگمت در یک جنین بیشتر باشد احتمال عدم لانه‌گزینی، سقط و بدنیآ آمدن نوزادانی با ناهنجاریهای ژنی و کروموزومی افزایش می‌یابد (۱۲، ۱۳). به هر حال، در بیشتر مطالعاتی که در زمینه رشد و نمو جنینهای فراگمت شده صورت گرفته است، جنینها پس از روز سوم به مادر منتقل شده و نتایج تکوین آنها پس از انتقال بررسی شده است و کمتر مطالعه‌ای در زمینه رشد جنینها در محیط کشت تا مرحله بلاستوسیتس، بررسی کیفیت بلاستوسیتسهای ایجاد شده و تعداد سلولهای مرده و نوع مرگ

آنها در بلاستوسیتس مشاهده می‌شود و مطالعات موجود نیز تأثیر نوع، درجه و پراکندگی فراگمتها را بر سرنوشت جنینها به وضوح مشخص نکرده‌اند. از این رو این سؤال مطرح است که نحوه رشد و تکوین جنینهای فراگمت با درجات مختلف فراگمت‌تاسیون در محیط کشت و تا مرحله بلاستوسیتس چگونه خواهد بود؟ آیا همه جنینهایی که دچار فراگمت‌تاسیون می‌شوند سرانجامی جز مرگ و از بین رفتن ندارند؟ به عبارت دیگر میزان و الگوی فراگمتها در جنینهای مختلف چه تأثیری بر رشد و تکوین آنها خواهد داشت؟ آیا حذف چند سلول از مجموعه بلاستومرهای یک جنین می‌تواند بر رشد و تکوین آن جنین و در نهایت بر کیفیت بلاستوسیتس ایجاد شده تأثیری داشته باشد؟ و اینکه آیا پس از رسیدن یک جنین به مرحله بلاستوسیتس باز هم سلول مرده‌ای در جنین یافت خواهد شد؟

هدف از این مطالعه، بررسی پتانسیل رشد و تکوین جنین با درجات مختلف فراگمت و کیفیت بلاستوسیتسهای حاصل در محیط کشت است. به این منظور به جنینهای اضافی انسانی که درجات مختلف فراگمت در آنها وجود داشت اجازه رشد تا مرحله بلاستوسیتس داده شد. سپس کیفیت و اندازه سطح هر بلاستوسیتس بررسی و با استفاده از رنگ آمیزی افتراقی تعداد سلولها در بلاستوسیتسهای هر گروه مشخص و نیز در برخی بلاستوسیتسها با استفاده از تکنیک TUNEL تعداد سلولهای مرده شمارش گردید.

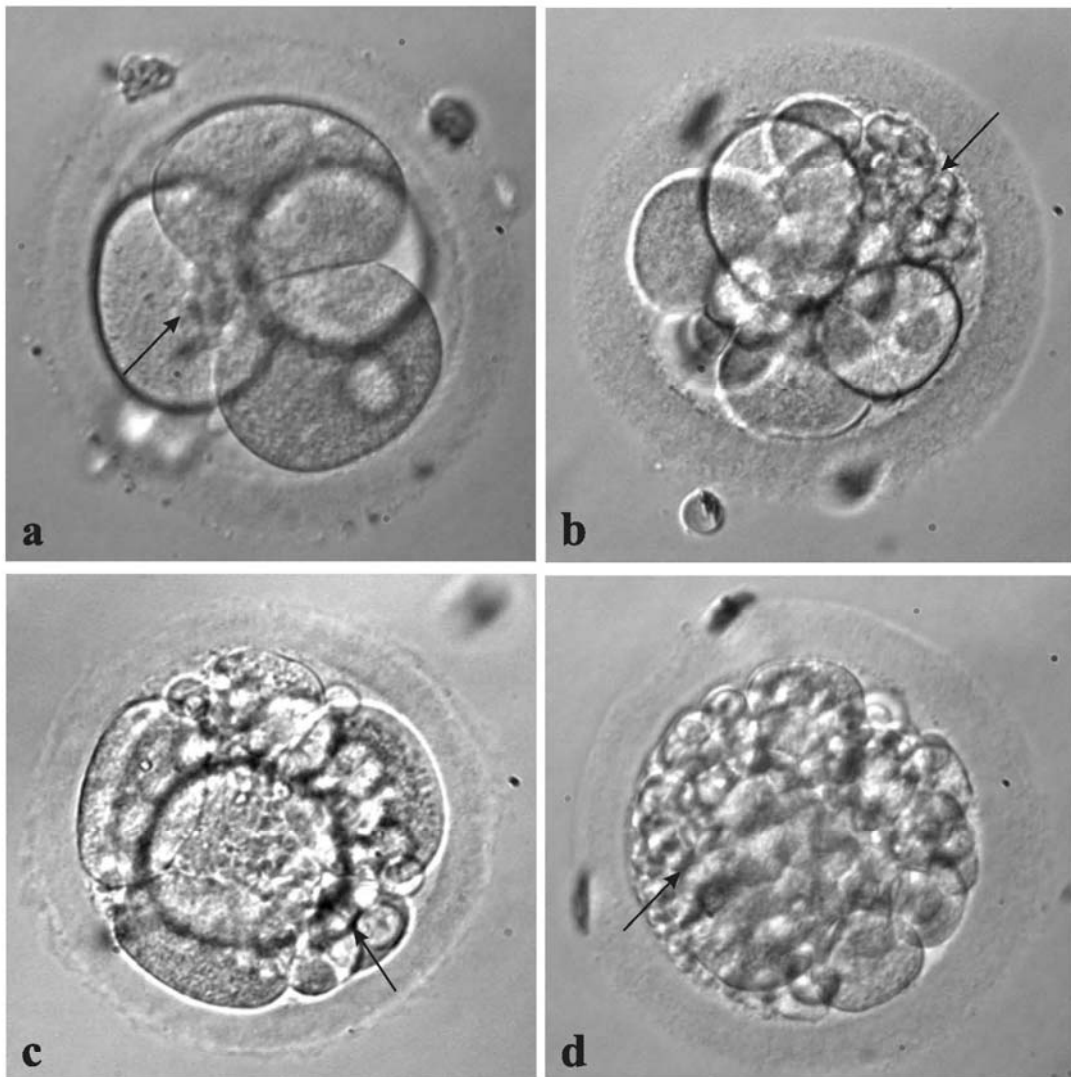
مواد و روشها

تهیه و کشت جنینها

«تحقیق حاضر طبق اجازه رسمی کمیته اخلاق پزشکی پژوهشکده رویان انجام گرفته است». تعداد ۳۱۵ جنین انسانی اضافی که فراگمت شده بودند، در ابتدای روز سوم پس از لقاح در مرحله دو تا هشت سلولی از آزمایشگاه جنین‌شناسی پژوهشکده رویان دریافت شدند. تحریک تخمدانی به صورت long protocol و با استفاده از آنالوگ GnRH (Buserelin; Hoechst, Frankfurt, Germany) و hMG (Organon, Holland) انجام شد. ۳۶ ساعت پس از تزریق hCG (Organon, Holland) و تخمک‌گیری، تخمکها به طریقه IVF یا ICSI در محیط (Vitrolife, Sweden) rS1 بارور و کشت شدند. ۴۳ تا ۴۵ ساعت پس از ترکیب اسپرم با تخمک، جنینهای مناسب انتقال، انتخاب و به بیماران انتقال داده شدند و جنینهای اضافی فراگمت شده که قابل انجماد نبودند و یا جنینهایی که تعداد آنها کمتر از سه عدد بوده و برای انجماد مورد استفاده قرار نمی‌گرفتند جهت مطالعه به آزمایشگاه تحقیقات انتقال یافتند. سپس جنینها با استفاده از میکروسکوپ معکوس (Nikon TE 300, Japan) دارای سیستم هافمن (Huffman, Germany) و عدسی شیئی ۴۰× ارزیابی شده و بر اساس نحوه توزیع و اندازه فراگمتها درجه‌بندی شدند. بر این اساس چهار الگو برای جنینهای فراگمت شده در نظر گرفته شد (طبق تقسیم بندی Alikani و Cohen (۸) با کمی تغییر) الگوی تقسیم بندی جنینها در تصویر ۱ نشان داده شده است.

صورت محیطی قرار گرفته اند (تصویر ۱-b). در الگوی III فراگمنتهای بزرگی که گاهی تقریباً به اندازه یک بلاستومر کامل هستند و حدود ۳۵ تا ۵۰ درصد فضای جنین را اشغال کرده اند، دیده می شود. این فراگمنتهها به صورت تصادفی پراکنده شده و تقریباً متعلق به کل بلاستومرها هستند (تصویر ۱-c). در الگوی IV فراگمنتهها به شکل گرانوله و نکروتیک بود و تقریباً کل فضای جنین را پوشانده است (تصویر ۱-d).

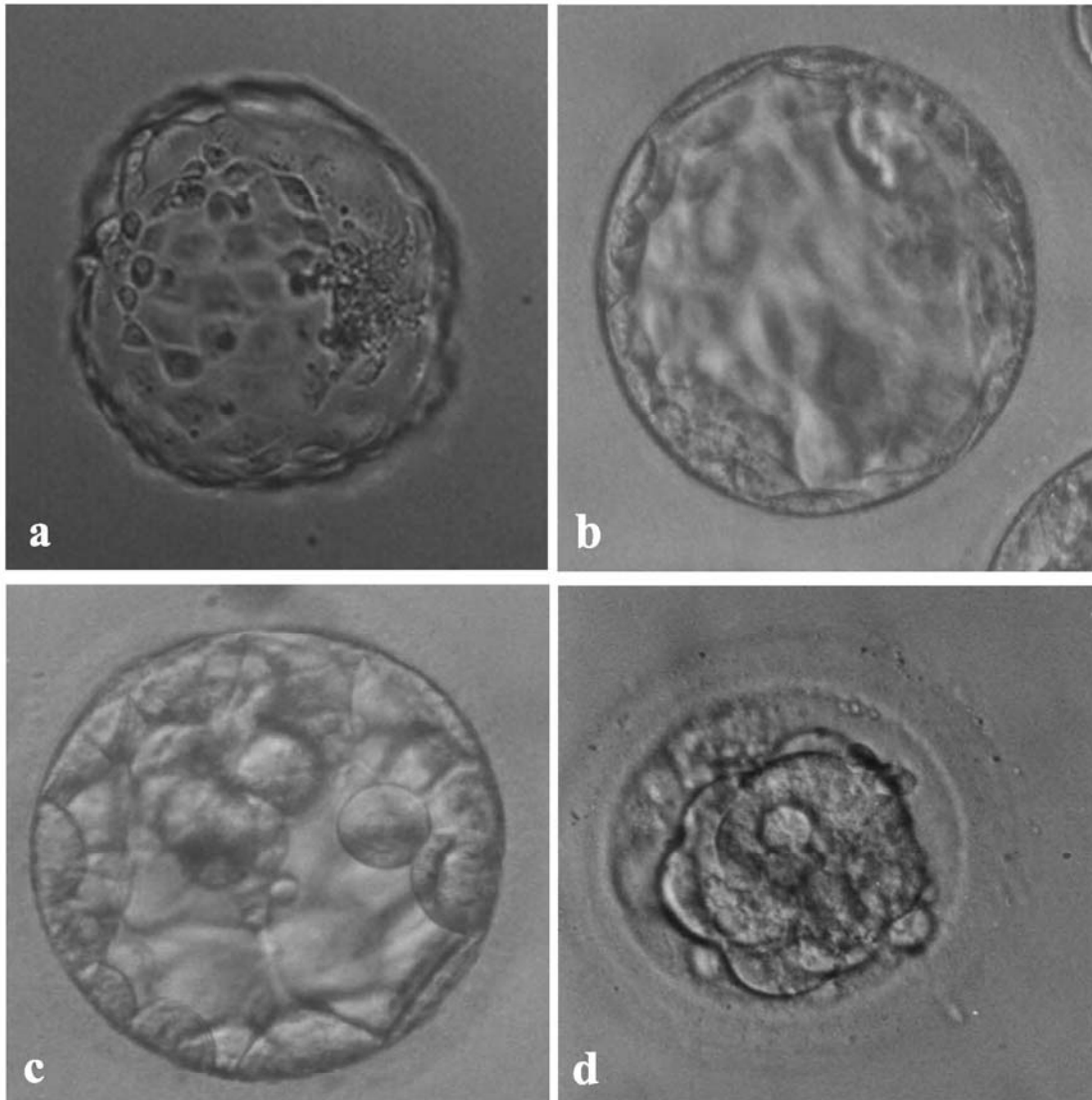
جنین نوع I دارای کمترین میزان فراگمنت (کمتر از ۵ درصد) است که به صورت متمرکز در زیر زونا پلوسیدا و در فضای perivitelline قرار گرفته اند. به بیان دیگر یک یا دو بلاستومر از کل جنین دچار فرآیند فراگمنتاسیون گردیده است (تصویر ۱-a). حال اگر فراگمنتهای کوچک و پراکنده ای (حدود ۲۰ درصد کل جنین) بین بلاستومرها مشاهده شود، جنین جنینی در گروه II جای می گیرد. این قطعات یا لایه لای بلاستومرها در فضای کلیواژی قرار دارند و یا به



شکل ۱: توصیف جنین های انسان بر اساس الگوی فراگمنتاسیون در روز دوم. a: گروه I دارای کمترین میزان فراگمنت و به صورت مجتمع در زیر زونا پلوسیدا. b: گروه II دارای فراگمنتههای کوچک و پراکنده در لایه لای بلاستومرها. c: گروه III با فراگمنتههای بزرگتر و تقریباً به اندازه یک بلاستومر. d: گروه IV فراگمنتهها به شکل نکروتیک (فلش، فراگمنتهها را نشان می دهد).

اندازه و نیز کیفیت مورد ارزیابی قرار گرفتند. اندازه سطح بلاستوسیتها توسط عدسی چشمی میکروسکوپ معکوس که دارای یک صفحه شطرنجی بود، بر اساس میکرومتر مربع اندازه گیری شد. کیفیت بلاستوسیتها نیز با سه فاکتور توده سلولی داخلی، (ICM) تروفواکتودرم (TE) و میزان اتساع به طریق زیر بررسی شد.

پس از تعیین نوع، جنینهای هر گروه به یک قطره مجزا از محیط rS2 (Vitrolife, Sweden) منتقل و در انکوباتور با دمای ۳۷ درجه سانتیگراد و میزان CO₂ ۵ درصد نگهداری شدند و تا روز ششم روند رشد و تکاملشان مورد بررسی قرار گرفت. هر کدام از جنینها که تبدیل به بلاستوسیت شدند، از لحاظ



شکل ۲: توصیف بلاستوسیتهای انسان بر اساس ۳ فاکتور توده سلولی داخلی، تروفواکتودرم و میزان متسع شدن هر بلاستوسیت. بلاستوسیت دارای توده سلولی مشخص و مجزا با شاخص A (a)، سلولهای پراکنده با شاخص B (b) و بدون توده سلولی داخلی با شاخص C (c)؛ هر بلاستوسیت با سلولهای تروفواکتودرم کشیده، متعدد و محکم به هم چسبیده با شاخص A (b) با سلولهای بزرگ برآمده با شاخص B (c) و بدون سازماندهی با شاخص A (a)، با اتساع کم و حفره دارای سلول با شاخص B (c) و کلاپس شده با شاخص C (d) امتیاز داده شدند.

از لحاظ توده سلولی داخلی هر بلاستوسیست که دارای توده سلولی داخلی مشخص و مجزا و به صورت یک توده متراکم با سلولهای متعدد و سازمان یافته بود با شاخص A، و هر بلاستوسیست که دارای توده سلولی داخلی کوچک و با سلولهای پراکنده بود، با شاخص B و هر بلاستوسیست که فاقد توده سلولی داخلی بود با شاخص C مشخص شد. از لحاظ تروفواکتودرم نیز هر جنین که دارای سلولهای تروفواکتودرمی کاملاً کشیده، متعدد و محکم به هم چسبیده بود با شاخص A، و هر جنینی که دارای سلولهای بزرگ برآمده بود با شاخص B و هر جنینی که تروفواکتودرم بدون سازماندهی مشخص داشت با شاخص C مشخص گردید و نیز بلاستوسیستهایی که کاملاً متسع شده بودند و یک حفره داخلی بزرگ در آن دیده می شد شاخص A و بلاستوسیستهایی که اتساع در آنها کم بوده و در داخل حفره بلاستوسل سلول یا فراگمنت مشاهده شد، شاخص B و آنهایی که در حال کلاپس شدن بودند شاخص C دریافت کردند (تصویر ۲). به طور مثال اگر جنینی فاقد توده سلولی داخلی با تروفواکتودرمی که سلولهای آن کاملاً کشیده و کاملاً متسع شده باشد به آن از چپ به راست امتیاز A-A-C داده می شود.

آنالیز آماری

داده های به دست آمده از شمارش جنینها در طی رشد و تکامل آنها و نیز از شمارش بلاستومرها توسط آزمونهای آماری آنالیز گردید. مقایسه درصد رشد و نمو جنینها و کیفیت بلاستوسیستها در گروههای مختلف با استفاده از آزمون مجذور کای (χ^2) و مقایسه اختلاف بین تعداد بلاستومرها، تعداد سلولهای آپوتوتیک و نکروتیک و اختلاف بین اندازه بلاستوسیستها در گروههای مختلف توسط آزمون آنالیز واریانس (ANOVA) صورت گرفت.

یافتهها

تکوین و تشکیل بلاستوسیست

نتایج میزان تکوین جنینها طی شمارش آنها در مدت کشت در نمودار ۱ آورده شده است. از بین ۳۱۵ جنین مورد بررسی در گروه اول ۴۶ جنین، گروه دوم ۱۱۹ جنین، گروه سوم ۹۸ جنین و گروه چهارم ۵۲ جنین مورد ارزیابی قرار گرفتند. همان طور که در نمودار مشخص شده است، ۲۵ درصد از جنینهای گروه IV در مرحله دو تا چهار سلولی ایست تکوینی داشته اند که با گروههای I، II و III اختلاف معنی دار دارند ($P < 0.05$ و $III = 1/8/2$ و $II = 1/8/6$ و $I = 1/6/5$).

نتایج نشان دهنده این امر است که در هر چهار گروه میزان بالایی از جنینها در مرحله هشت سلولی تا مورولا توقف داشته اند، گروه اول ۳۷ درصد، گروه دوم ۲۶/۹ درصد، گروه سوم ۳۸/۸ درصد و گروه چهارم ۴۰/۴ درصد که تفاوتی مابین گروهها دیده نشد.

همچنین میزان تشکیل بلاستوسیست در چهار گروه در نمودار یک آورده شده است. بالاترین میزان تشکیل بلاستوسیست در گروه II با ۵۶/۳ درصد دیده می شود که در مقایسه با گروههای III ۴۰/۸ درصد ($P < 0.05$) و IV ۲۵ درصد ($P < 0.001$) اختلاف معنی دار است. میزان

رنگ آمیزی افتراقی بلاستوسیستها جهت رنگ آمیزی توده سلولی داخلی و تروفواکتودرم، بلاستوسیستهای متسع و یا در حال هچینگ ابتدا در ۵۰۰ میکرولیتر از محلول رنگ آمیزی A به مدت ۳۰ ثانیه انکوبه شدند. محلول رنگ آمیزی A متشکل از محیط HTF با بافر (Sigma, USA) HEPES و حاوی ۱ درصد تریتون X-100 (Sigma, USA) و ۱۰۰ میکروگرم در میلی لیتر پروپیدیوم یدید (Sigma, USA) بوده که باعث می شود که سلولهای تروفواکتودرم قرمز رنگ شوند. پس از طی مدت زمان ذکر شده جهت ثبوت و رنگ آمیزی توده سلولی داخلی، بلاستوسیستها به ۵۰۰ میکرولیتر از محلول II منتقل شدند. این محلول حاوی اتانل ۱۰۰ درصد به همراه ۲۵ میکروگرم در میلی لیتر بیس بنزآمید (Hoechst 33258; Calbiochem) بوده که باعث می گردد که سلولهای توده داخلی آبی رنگ شوند. پس از گذشت ۱۲ ساعت بلاستوسیستها روی یک لام شیشه ای که یک قطره گلیسرول روی آن قرار داده شده بود انتقال یافته و به آرامی روی آنها یک لامل قرار داده شد. سپس توسط میکروسکوپ فلوروسنس (Nikon E 800, Japan) با طول موج ۳۸۰ تا ۴۲۰ نانومتر هسته سلولهای ناحیه توده سلولی داخلی و تروفواکتودرم شمارش گردید. هر هسته به منزله یک سلول تلقی و هسته هایی که ظاهر فراگمنت شده و قطعه قطعه داشتند از شمارش حذف و هسته هایی که کروموزومهای آنها در مرحله آنافاز قرار گرفته بود نیز بعنوان یک سلول شمارش شدند.

رنگ آمیزی TUNEL

برخی از جنینها که به مرحله بلاستوسیست رسیده بودند با رنگ TUNEL (In Situ Cell Death Detection

درصد بلاستوسیت‌هایی که به مرحله هچینگ رسیده اند در گروه II بیش از گروه‌های III و IV است و اختلاف معنی دار وجود دارد ($P < 0.05$). همچنین نمودار ۲ گویای این مطلب است که بر خلاف میزان کم تشکیل بلاستوسیت اتساع یافته در گروه‌های III و IV میزان تشکیل بلاستوسیت اولیه در این گروه‌ها تقریباً بالا بوده ($IV = 13/5\%$ و $III = 22/4\%$) و این امر به این معنی است که در این دو گروه جنین‌هایی که تا مرحله بلاستوسیت اولیه رسیده‌اند قادر به ادامه روند تکامل تا مراحل بالاتر نیستند.

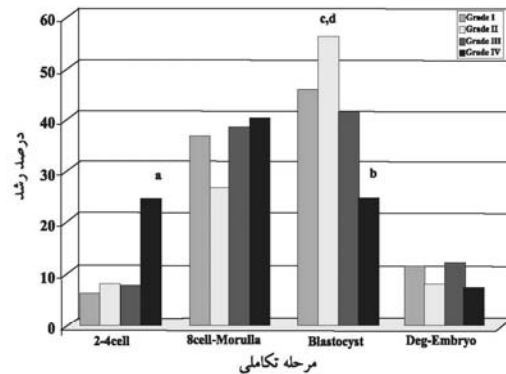
همچنین نتایج حاکی از آن است که درصد جنین‌های دژنره شده در چهار گروه اختلاف آماری ندارد ($IV = 7/7\%$ و $III = 12/2\%$ و $I = 10/9\%$ و $II = 8/4\%$).

اندازه و کیفیت بلاستوسیت

جدول ۱ نمایشگر اندازه بلاستوسیتها در چهار گروه مختلف است. همان طور که از نتایج برمی‌آید سطح بلاستوسیتها به تدریج از گروه I به گروه IV کاهش می‌یابد که این کاهش در گروه IV با دو گروه I و II تفاوت معنی دار دارد (به ترتیب $P < 0.05$ و $P < 0.01$). کیفیت بلاستوسیتها نیز در جدول ۲ نمایش داده شده است. همان طور که از داده‌ها برمی‌آید تقریباً $77/8\%$ درصد بلاستوسیتها در گروه I و $54/5\%$ درصد بلاستوسیتها در گروه II دارای توده سلولی داخلی مشخص و مجزا به صورت یک توده متراکم با سلولهای متعدد و سازمان یافته می‌باشند که اختلاف این دو گروه با گروه IV (درصد) معنی دار است. همچنین از همین لحاظ گروه I با گروه III با $P < 0.05$ اختلاف معنی دار دارد. از لحاظ کیفیت تروفواکتودرم در بلاستوسیتها نیز در گروه IV $28/6\%$ درصد از بلاستوسیتها بدون سازماندهی مشخص و منظم بودند (شاخص C تروفواکتودرم) که با گروه II (درصد) تفاوت معنی دار دیده شد.

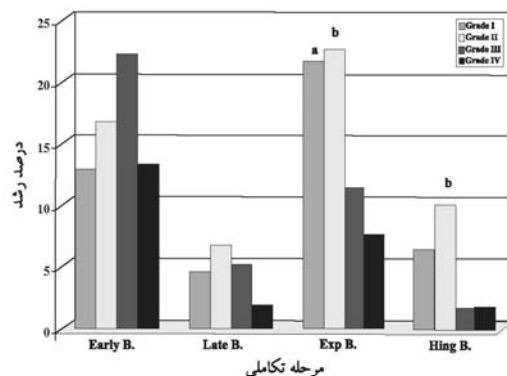
همچنین جدول ۲ نشان دهنده این مطلب است که تقریباً 90% درصد بلاستوسیتها در گروه I کاملاً اتساع یافته هستند و در مقایسه با گروه‌های دیگر اختلاف چشم‌گیری دارند. این اختلاف با گروه‌های II و III معنی دار است ($P < 0.05$). اما با گروه IV با وجود کم بودن میزان اتساع ($57/1\%$ درصد) اختلاف معنی دار نیست. در بین گروه‌ها فقط در گروه سوم است که تعداد کمی از بلاستوسیتها کاملاً اتساع یافته‌اند (40% درصد) و اگر با نمودار ۲ مقایسه شود دیده می‌شود که فقط $1/2\%$ درصد از کل جنین‌های این گروه به مرحله بلاستوسیت اتساع یافته رسیده‌اند که نسبت به دو گروه اول و دوم میزان کمتری است و این مسئله نشان دهنده این مطلب است که نه تنها تعداد کمتری از جنین‌های گروه III به مرحله بلاستوسیت اتساع یافته می‌رسند، بلکه به هنگام بلاستوسیت نیز کاملاً متسع نبوده و داخل حفره شان، سلول یا قطعات سلولی قابل مشاهده است.

تشکیل بلاستوسیت در گروه اول نیز $45/7\%$ درصد است که با گروه IV تفاوت معنی دار دارد ($P < 0.05$). بین گروه III و IV نیز با ($P < 0.05$) اختلاف دیده می‌شود.



نمودار ۱: مقایسه میزان تکوین جنین‌های انسانی حاصل از چهار گرید فراگمنتاسیون ۱۲۴ ساعت پس از کشت جنین‌های دژنره شده = Deg. Embryo
 a: اختلاف میان گرید I، II و III با IV معنی‌دار است. $P < 0.05$
 b: اختلاف میان گرید I و III با IV معنی‌دار است. $P < 0.05$
 c: اختلاف میان گرید II با III معنی‌دار است. $P < 0.05$
 d: اختلاف میان گرید II با IV معنی‌دار است. $P < 0.05$

نمودار ۲ به تفکیک مراحل مختلف بلاستوسیت را نشان می‌دهد. همان طور که نشان داده شده است میزان تشکیل بلاستوسیت اتساع یافته در گروه‌های I و II بیش از گروه‌های III و IV است که گروه I با گروه IV و گروه II با گروه‌های III و IV اختلاف دارند ($P < 0.05$).



نمودار ۲: مقایسه میزان تکوین جنین‌های انسانی حاصل از چهار مرحله مختلف تشکیل بلاستوسیت، ۱۲۴ ساعت پس از کشت
 a: Early B. = بلاستوسیت اولیه، Late B. = بلاستوسیت نهایی، Exp. B. = بلاستوسیت اتساع یافته، Hing B. = هچینگ بلاستوسیت
 b: اختلاف میان گرید I، II و III با IV معنی‌دار است. $P < 0.05$
 b: اختلاف میان گرید II با III و IV معنی‌دار است. $P < 0.05$

جدول ۱: مقایسه میانگین تعداد سلولها و سطح (میکرومتر مربع) بلاستوسیت‌های انسانی حاصل از چهار گرید فراگمنته

گروه	تعداد	تعداد کل سلولها a, b, c	تعداد ICM d, e	تعداد TE a, b	درصد ICM	اندازه بلاستوسیت b, f
I	۸	۱۲۸/۱۲±۲۱/۲۳	۲۷/۵±۷/۲۳	۱۰۰/۶۲±۱۷/۲۲	%۲۱±۴/۰۴	۲۲۲۱۶±۶۷۰۰/۱۳
II	۷	۱۰۶/۵۷±۳۵/۳۱	۲۰/۰±۲/۶۲	۸۶/۵۷±۳۳/۹۸	%۲۱±۷/۱۵	۲۰۳۷۳/۳±۵۹۲۰/۷
III	۸	۷۲/۵±۳۸/۸۹	۱۲/۵±۸/۱۷	۶۲/۰±۳۳/۲۳	%۲۰±۰/۱۱	۱۹۱۳۹/۳±۲۷۳۹/۱
IV	۸	۶۳/۷۵±۱۹/۷۹	۹/۸۷±۳/۸۵	۵۳/۸۷±۱۶/۹۸	%۱۵/۰±۵/۸۴	۱۵۶۸/۱±۲۰۵/۷

کلیه اعداد به صورت میانگین ± انحراف معیار هستند. - ICM - توده سلولی داخلی، TE - تروفوکتودرم
 - اختلاف میان گروه I با III و IV معنی‌دار است. $P < 0.01$ - b: اختلاف میان گروه II با IV معنی‌دار است. $P < 0.05$
 - اختلاف میان گروه II با III معنی‌دار است. $P < 0.05$ - c: اختلاف میان گروه I با II و III معنی‌دار است. $P < 0.001$
 - اختلاف میان گروه II با III و IV معنی‌دار است. $P < 0.05$ - f: اختلاف میان گروه I با IV معنی‌دار است. $P < 0.01$

جدول ۲: مقایسه کیفیت جنین‌های انسانی حاصل از گریدهای چهار گانه فراگمنته‌سایون از لحاظ سه فاکتور توده سلولی داخلی (ICM)، تروفوکتودرم (TE) و میزان اتساع (Exp)

گروه	تعداد	ICM=A a, b, c	ICM=B	ICM=C	TE=A	TE=B	TE=C	Exp=A d	Exp=B	Exp=B
I	۹	۷(۷۸/۸)	۲(۲۲/۲)	۰(۰)	۳(۳۳/۳)	۵(۵۵/۵)	۰(۰)	۸(۸۸/۸)	۱(۱۱/۱)	۰(۰)
II	۲۱	۱۲(۵۲/۵)	۸(۳۶/۳)	۲(۹/۱)	۱۰(۴۵/۵)	۱۲(۵۲/۵)	۰(۰)	۱۰(۴۵/۵)	۱۲(۵۵/۵)	۰(۰)
III	۱۰	۳(۳۰)	۷(۷۰)	۰(۰)	۳(۳۰)	۵(۵۰)	۱(۱۰)	۴(۴۰)	۶(۶۰)	۰(۰)
IV	۷	۰(۰)	۷(۱۰۰)	۰(۰)	۲(۲۸/۲)	۳(۴۲/۶)	۲(۲۸/۲)	۲(۲۸/۲)	۳(۴۲/۶)	۰(۰)

اعداد داخل پرانتز به صورت درصد هستند.
 - اختلاف میان گروه I با III معنی‌دار است. $P < 0.05$ - b: اختلاف میان گروه I با IV معنی‌دار است. $P < 0.01$
 - اختلاف میان گروه I با II و III معنی‌دار است. $P < 0.05$ - c: اختلاف میان گروه I با II و III معنی‌دار است. $P < 0.001$

جدول ۳: مقایسه متوسط مرگ سلولی در بلاستوسیت‌های انسانی حاصل از گریدهای چهارگانه فراگمنته‌سایون

گروه	تعداد	تعداد کل سلولها a, b	میانگین آپوتوزیس c	میانگین نکروزیس c	درصد نکروزیس c	درصد آپوتوزیس d, e
I	۵	۱۲۹/۳۰±۹/۳۳	۴/۶۰±۴/۳۳	۱/۲۰±۱/۳۰	%۰.۰۹±۰/۰۱	%۰.۳۷±۰/۰۳۷
II	۱۰	۱۰۳/۳۰±۳۳/۱۷	۶/۳۰±۳/۸۰	۱/۶۰±۱/۵۲	%۰.۱۶±۰/۰۳۱	%۰.۰۶±۰/۰۲۵
III	۵	۷۳/۰±۴/۸۲	۹/۸۰±۴/۸۱	۳/۶۰±۱/۱۲	%۰.۰۵±۰/۰۲۱	%۰.۱۳±۰/۰۷۷
IV	۵	۶۳/۸۰±۱۷/۲۶	۲۱/۶۰±۲/۱۰	۱۳/۸۰±۲/۱۶	%۰.۲۳±۰/۰۹۴	%۰.۳۳±۰/۰۷۷

کلیه اعداد به صورت میانگین ± انحراف معیار هستند.
 - اختلاف میان گروه I با III و IV معنی‌دار است. $P \leq 0.001$ - a: اختلاف میان گروه I با III و IV معنی‌دار است. $P < 0.001$
 - اختلاف میان گروه I با II و III معنی‌دار است. $P < 0.001$ - c: اختلاف میان گروه I با II و III معنی‌دار است. $P < 0.01$
 - اختلاف میان گروه I با II و III معنی‌دار است. $P < 0.01$

میزان سلولهای توده سلولی داخلی و تروفوکتودرم

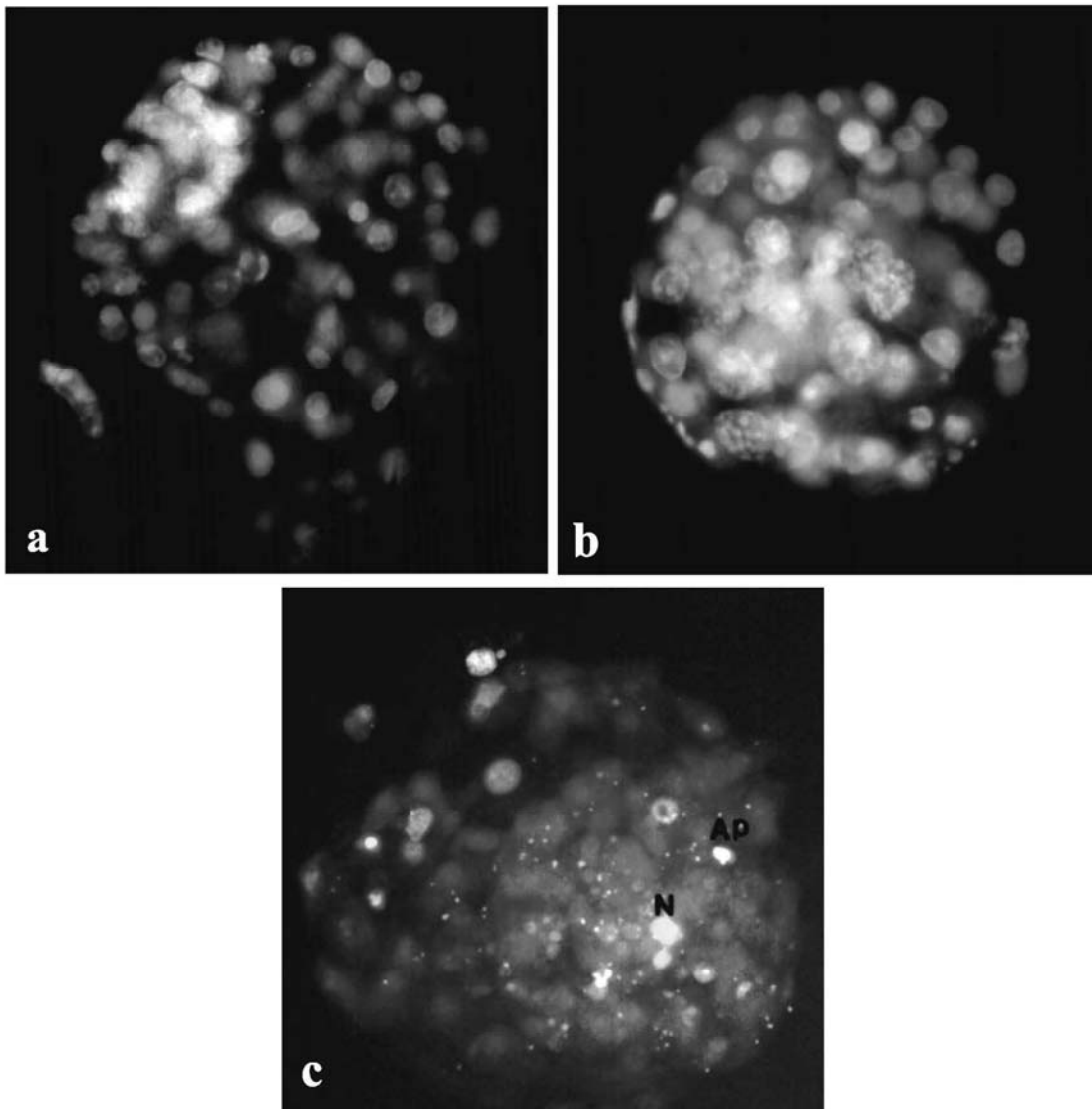
جهت شمارش سلولهای توده سلولی داخلی و تروفوکتودرم به صورت مجزا، از رنگ آمیزی افتراقی استفاده شد. این روش رنگ آمیزی قبلاً فقط در مورد جنینهای گاو و موش انجام شده بود مزیت این نوع رنگ آمیزی عدم استفاده از آنتی‌بادی و کوتاه بودن زمان رنگ آمیزی است. مکانیسم این نوع رنگ آمیزی افتراقی فاکتور زمان است سلولهای تروفوکتودرم در زمان کم (۳۰ ثانیه) و با استفاده از نفوذپذیر شدن غشاء سلولهای این ناحیه توسط تریتون X-100 موجود در محلول رنگ اول (محلول پروپیدیوم یدید) رنگ ارغوانی را به خود گرفته و سپس به مدت طولانی (overnight) در مجاورت محلول رنگ دوم (بیس بنزآمید) قرار گرفته و این رنگ به داخل کل سلولهای جنین نفوذ می‌کند. از ترکیب این دو رنگ در سلولهای ناحیه تروفوکتودرم رنگ قرمز حاصل می‌شود. سلولهای ناحیه توده سلولی داخلی فقط رنگ دوم یعنی رنگ آبی را به خود جذب نموده و در

نتیجه بلاستوسیت به طور افتراقی رنگ می‌گیرد. پس از رنگ آمیزی، هسته بلاستومرها در ناحیه توده سلولی داخلی به رنگ آبی و در بخش تروفوکتودرم به رنگ صورتی در می‌آید (تصویر شماره ۳-۳). نتایج شمارش سلولها در جدول ۱ نشان داده شده است. همان طور که ملاحظه می‌شود، میانگین تعداد کل سلولها در گروههای I و II بیش از گروههای III و IV است و نیز میانگین تعداد سلولها در ناحیه توده سلولی داخلی و تروفوکتودرم در گروههای I و II بیش از گروه III و IV است. این اختلاف از نظر آماری معنی دار است. در گروه چهار تعداد زیادی از فراگمنتهها به صورت قطعات کوچکی که رنگ را به خود می‌گیرند، در ناحیه توده سلولی داخلی و تروفوکتودرم دیده شده که دانسیته رنگ در آنها بسیار بالا بوده و به میزان زیادی رنگ را به خود جذب کرده بودند و از آنجا که این قطعات کوچک به عنوان فراگمنته شناسایی شدند در شمارش لحاظ نگردیدند. نکته قابل توجه این است که نسبت سلولهای توده سلولی داخلی به کل سلولهای یک

IV کمتر از بقیه است، تصویر b-3 نشان دهنده این امر است که سلولهای ناحیه توده سلولی داخلی در گروههای III و IV آرایش منظم و سازمان یافته نداشته و برخلاف گروههای I و II به صورت پراکنده در حفره بلاستوسیست مشاهده می شوند در حالی که در گروههای I و II سلولهای ناحیه توده سلولی داخلی کاملاً سازمان یافته و به صورت متمرکز و یک توده کاملاً مجزا در یک قطب بلاستوسیست قرار گرفته اند.

جنین (درصد سلولهای توده سلولی داخلی) در هر یک از گروهها یک نسبت تقریباً ثابت می باشد و در گروههای چهار گانه این مطالعه تفاوت چندانی بین آنها وجود ندارد و تقریباً 20 درصد سلولهای یک جنین را سلولهای ناحیه توده سلولی داخلی تشکیل می دهد. به جز گروه IV که این میزان 15 درصد است. سلولهای ناحیه تروفواکتودرم نیز در گروههای I و II به طور معنی داری بیش از گروههای III و IV است.

علاوه بر اختلاف مشاهده شده از لحاظ تعداد که در گروه III و



شکل 3: تصاویر میکروسکوپ فلورسینس از رنگ آمیزی افتراقی (a, b) و تکنیک TUNEL بلاستوسیستهای انسان (c). رنگ آبی نشان دهنده توده سلولی داخلی (ICM) و رنگ صورتی (قرمز) نشان دهنده سلولهای تروفواکتودرم (TE) است. در تصویر a سلولهای ICM به صورت متراکم و مجزا قرار گرفته اند در حالی که در تصویر b سلولهای ICM در لابه لای سلولهای TE پراکنده شده اند و سازماندهی مشخصی ندارند. c: نقاط آبی براق نشان دهنده سلولهای آپوپتوتیک (AP) و نقاط قرمز براق نشان دهنده سلولهای نکروتیک (N) است.

جنینهایی که در صد بالایی از سلولهای آنها فراگمنت شده اند، به علت اشکالات کروموزومی، ژنوم جنینها فعال نشده و باعث ایست تکوینی جنینها در مرحله دو تا چهار سلولی می شود.

این توقف رشد در مراحل هشت سلولی و مورولا نیز در گروههای III و IV دیده می شود. به عبارتی به ترتیب ۳۸/۸ درصد و ۴۰/۴ درصد از جنینهای این دو گروه در مراحل ذکر شده توقف کردند. حضور قطعات سلولی حاصل از فراگمنتاسیون در لا به لای سلولهای یک جنین می تواند باعث انحراف صفحات تقسیم و مانع در ارتباط بین سلولها شود (۸). عدم تعامل بین بلاستومرها، عدم compaction را به همراه خواهد داشت و این می تواند دلیل توقف درصد بالایی از جنینهای گروه III و IV در مراحل هشت سلولی و مورولا باشد.

این روند کاهش در میزان تشکیل بلاستوسیست در گروه IV نیز به خوبی قابل مشاهده است. چرا که فقط ۲۵ درصد از جنینهای این گروه به مرحله بلاستوسیست رسیده اند و اگر به نمودار ۲ دقت شود دیده می شود که تعداد قابل توجهی از جنینهای گروه III و IV در مرحله بلاستوسیست اولیه باقی مانده و قادر به ادامه روند رشد نیستند.

این مطلب نشان دهنده این امر است که هرچه وقوع پدیده فراگمنتاسیون در جنین بیشتر باشد احتمال اینکه آن جنین بتواند مراحل تکوین خود را طی کند کاهش می یابد. همچنین این پدیده بر اندازه بلاستوسیستها نیز تأثیر گذار بوده به طوری که با افزایش میزان فراگمنتها در جنین اندازه جنینها از لحاظ سطح کاهش یافته است. به عبارت دیگر هر چه تعداد سلولهای بیشتری در این پدیده درگیر شوند یا فراگمنت شوند، تعداد سلولهای موجود در جنین در زمان بلاستوسیست کاهش یافته و نیز اندازه بلاستوسیست کوچکتر می شود. پدیده فراگمنتاسیون بر کیفیت بلاستوسیستها به خصوص سلولهای ناحیه توده سلولی داخلی تأثیر داشته به طوری که آرایش و چگونگی قرارگیری آنها را به هم می زند. همان طوری که تصویر ۳ نشان می دهد سلولهای ناحیه توده سلولی داخلی در جنینهای گروه III و IV بدون هیچ آرایش و همبستگی در سرتاسر جنین پراکنده شده اند. با اینکه نتایج این تحقیق نشان داد که نسبت سلولهای توده سلولی داخلی به کل سلولهای یک جنین تقریباً در همه گروهها یکسان است و با یکدیگر اختلاف معنی داری ندارد (این به آن معنی است که جنین در هر حال با مکانیسم هایی نسبت توده سلولی داخلی و تروفواکتودرم را ثابت نگاه می دارد) ولی با توجه به جدول ۱ ملاحظه می شود که تعداد کل سلولها، تعداد سلولهای ناحیه توده سلولی داخلی و تروفواکتودرم در گروههای III و IV کاهش یافته است و تحقیقات نشان می دهد که هرچه سلولاریتی در جنین بیشتر باشد، شانس کاشته شدن در رحم و ادامه حاملگی افزایش خواهد یافت (۱۴). بنابراین احتمالاً کاهش میزان implantation و حاملگی در جنینهای گروههای III و IV که در گزارشات آمده است، به دلیل کاهش سلولها در ناحیه تروفواکتودرم (منجر به کاهش implantation) و ناحیه توده سلولی داخلی (منجر به کاهش میزان

فراوانی آپوتوزیس و نکروزیس در بلاستوسیست

در این مطالعه برای تعیین تعداد سلولهای آپوتوزی در گروههای مختلف جنینهای فراگمنته از رنگ آمیزی TUNEL استفاده گردید. ویژگی این رنگ آمیزی قابلیت افتراق سلولهای آپوتوتیک از نکروتیک و نیز قابلیت شمارش کل سلولهای یک جنین است. در این تکنیک سلولهای آپوتوتیک نکروتیک به ترتیب به رنگ زرد و قرمز در می آیند (تصویر C-۳).

نتایج حاصل از این رنگ آمیزی در جدول ۳ آمده است. بر اساس نتایج به دست آمده بیشترین میزان سلولهای آپوتوتیک و نکروتیک در بلاستوسیستهای گروه IV است که با گروههای دیگر تفاوت معنی دار دارد. همچنین بیشترین میزان متوسط درصد سلولهای نکروتیک (۱۰۰ × $\frac{\text{تعداد هسته های نکروتیک}}{\text{تعداد کل هسته}}$) در گروه IV است که با گروههای دیگر تفاوت معنی دار دارد. از لحاظ متوسط درصد سلولهای آپوتوتیک (۱۰۰ × $\frac{\text{تعداد هسته های آپوتوتیک}}{\text{تعداد کل هسته}}$) نیز گروههای III و IV درصد بالایی از این سلولها را در لا به لای سایر سلولهای یک بلاستوسیست به خود اختصاص داده و با گروههای I و II تفاوت معنی دار دارند.

بحث

این مطالعه به ارتباط بین مورفولوژی اولیه جنین قبل از لانه گزینی انسان و میزان تشکیل و کیفیت بلاستوسیست در محیط *in vitro* و احتمال وقوع پدیده مرگ سلولی در میان سلولهای بلاستوسیستی که حاصل از جنین با مورفولوژی غیر طبیعی است، می پردازد. در تحقیق حاضر بر اهمیت یکی از جنبه های مورفولوژی جنین یعنی فراگمنتاسیون تأکید شده است. آنچه که از شواهد ثبت شده بر می آید این است که جنینهای فراگمنت از لحاظ تکوین در محیط *in vitro* محدودیت دارند.

دلایل متعددی برای شروع پدیده PCD در جنینها ذکر می شود. یکی از این دلایل نامناسب بودن شرایط کشت جنینها است (۴). سیستم کشت استفاده شده در این مطالعه به صورت محیطهای کشت متوالی است که جنینها ابتدا در محیط RS1 کشت داده شده و در روز سوم وارد محیط RS2 شدند تا بدین ترتیب شرایط کشت به صورت مطلوب تری در اختیار جنینها قرار گیرد.

همان طور که در این مطالعه نشان داده شده است هرچه میزان قطعات سلولی (fragments) در جنین و لا به لای بلاستومرها بیشتر باشد درصد تشکیل بلاستوسیست کمتر شده و جنینها از کیفیت کمتری برخوردار هستند.

تقریباً ۲۵ درصد از جنینهای گروه چهارم در مرحله دو تا چهار سلولی متوقف شده اند و این نشان دهنده این مطلب است که فراگمنتاسیون می تواند باعث ایجاد ایست تکوینی در جنین جنینهایی باشد. از آنجا که برخی محققین عقیده دارند که بلاستومرهایی که دچار مرگ سلولی می شوند ممکن است از لحاظ هسته ای و کروموزومی دچار اشکال باشند (۱۴)، می توان نتیجه گرفت که در

حاملگی) می باشد.

کیفیت سلولها در ناحیه توده سلولی داخلی در گروه IV با دو گروه اول بطور معنی داری تفاوت دارد. به طوری که هیچ یک از بلاستوسیت‌های گروه IV دارای توده سلولی داخلی با کیفیت عالی نمی باشد و فقط ۳۰ درصد بلاستوسیت‌های گروه III دارای توده سلولی داخلی با کیفیت خوب هستند و ۷۰ درصد آنها از نوع پراکنده می باشد. همین امر برای سلولهای ناحیه تروفوکتودرم هم صدق می کند. به این مفهوم که علاوه بر اینکه تعداد سلولها در ناحیه توده سلولی داخلی و تروفوکتودرم کاهش یافته است، کیفیت آنها نیز مطلوب نمی باشد.

کیفیت نامطلوب بلاستوسیت‌های حاصل از جنینهای با میزان فراگمنت بالا و نیز غیر طبیعی بودن آرایش سلولها در ناحیه توده سلولی داخلی و یا نامناسب بودن کیفیت سلولهای تروفوکتودرم همگی عواملی است که باعث می شود این جنینها پس از انتقال به مادر با عدم موفقیت در کاشته شدن و حاملگی روبرو باشند. در مطالعه ای که توسط Ebner و همکارانش انجام یافت، نشان داده شده است که هرچه میزان فراگمنتها در جنین بیشتر باشد، به عبارتی هرچه جنین کیفیت نامطلوب تری داشته باشد پس از انتقال در روز دوم لقاح، میزان حاملگی کاهش می یابد و در عوض میزان ناهنجاریهای کروموزومی که نوزادان به دنیا آمده به آن مبتلا بوده اند از قبیل تریزومی ۱۸ و ۲۱ هیدروسفالی، بسته بودن کانال آنال، هیدروسل، لب شکری، نقص دیواره بطنی و دهلزی و غیره افزایش می یابد (۱۲). همچنین در بررسی دیگری توسط Hardison و همکارانش، مشاهده شده است که ۴۸ درصد جنینهای فراگمنت از نظر ۷ کروموزوم بررسی شده (X و Y، ۱۳، ۱۶، ۱۸، ۲۱، ۲۲) دچار اشکال هستند (۱۳). که همین شواهد استفاده از این جنینها را در بالین محدود می نماید و به جنین شناسان اجازه ریسک انتقال آنها را نمی دهد.

مطالعات قبلی توسط Jurisicova نشان داده است که ظاهر فراگمنتها در جنینهای اولیه نشاندهنده مرگ سلولی از نوع برنامه ریزی شده (PCD) است (۱۰). این پدیده نوعی مرگ فیزیولوژیک سلول است که با فعال شدن ژنهای ویژه ای آغاز شده و حاصل آن تغییرات مورفولوژیک ویژه ای موسوم به آپوپتوزیس است (۱۶). در آپوپتوزیس کروماتین هسته متراکم شده و به قطعات اولیگونوکلوئومی شکسته، سیتوپلاسم جوانه زده (budding) و قطعه قطعه جدا می گردد، این قطعات در ناحیه پراکنده شده و پس از مدتی سلولهای فاگوسیتی آنها را می بلعند. نکته ای که در ارتباط با جنین وجود دارد این است که در زمان فراگمنتاسیون جنین، بلاستومرها هنوز قابلیت و توانایی فاگوسیتوز را کسب نکرده اند لذا قادر نیستند قطعات سلولی را فاگوسیت نمایند (۱۰).

با وجود اینکه هدف این مطالعه بررسی مکانیسم فراگمنتاسیون نبوده است، ولی از نتایج تکنیک TUNEL چنین برمی آید که، هر چه تعداد فراگمنتها در لابلای بلاستومرهای جنین چهار سلولی بیشتر باشد، تعداد سلولهایی که در مرحله بلاستوسیت بصورت آپوتوتیک و نکروتیک هستند، بیشتر خواهد بود. در یک جنین مرحله بلاستوسیت از گروه IV ۲۳ و ۳۳ درصد سلولها به ترتیب به صورت آپوتوتیک و نکروتیک هستند. بر اساس یکی از تئوری های موجود در زمینه مکانیسم و اثرات فراگمنتها، حضور فراگمنتها در لابلای سلولهای یک جنین و تبدیل آنها به سلولهای نکروتیک (نکروز ثانویه) شاید علت ایجاد پدیده آپوتوزیس در سایر سلولها باشد (۱۷). بنابراین میتوان نتیجه گرفت که هر چه میزان فراگمنتها بیشتر و اندازه آنها بزرگتر باشد، روی بقیه بلاستومرهای سالم تأثیر منفی بیشتری دارد. از ایسرو طبیعی است که در گروه IV که بیشترین میزان فراگمنت را در مراحل اولیه تقسیم دارد، در مرحله بلاستوسیت نیز بیشترین میزان سلولهای مرده (آپوتوتیک و نکروتیک) را داشته باشد. وجود تعداد اندکی سلول آپوتوتیک در گروههای I و II طبیعی است چراکه سلولهای ناحیه توده سلولی داخلی در بلاستوسیت‌های اولیه قادر به تولید سلولهای تروفوکتودرم هستند. Hunter و Handyside وقوع پدیده مرگ سلولی را مکانیسی برای حذف چنین سلولهایی با قابلیت تبدیل به تروفوکتودرم در بلاستوسیت‌های نهایی دانستند (۱۸). Pierce و همکارانش نیز مرگ سلولی را مقابله با ایجاد تروفوکتودرم نا به جا (اکتوتیک) تفسیر کردند (۱۹).

از آنجاکه تعداد جنینهایی که فراگمنت می شوند، بیش از ۵۰ درصد گزارش شده است و حذف آنها از پروسه درمان افراد نازا باعث کاهش در موفقیت می شود (چرا که در برخی بیماران کل یا تعداد زیادی از جنینهای آنها دچار این پدیده می شود) باید تمهیداتی اندیشید تا بتوان از این جنینها استفاده کرد. در تحقیق Pierce و همکارانش دیده شده است که ۴۲ درصد جنینهای فراگمنت شده حداقل از نظر هفت کروموزوم بررسی شده نرمال هستند (۱۹). این مطلب و نتایج مطالعه حاضر که تقریباً ۵۰ درصد جنینهای گروه I و ۶۰ درصد جنینهای گروه II قادرند تا مرحله بلاستوسیت برسند این نوید را می دهد که کشت این جنینها بصورت طولانی مدت همراه با بررسی کروموزومی آنها در مراحل ابتدایی (چهار تا هشت سلولی) برای اطمینان از نواقص کروموزومی احتمالی، میتواند راهکاری برای دست یابی به موفقیت بیشتر در امر ART باشد. حسن دیگر این روش انتقال جنینها به مادر در مرحله بلاستوسیت است، یعنی زمانی که رحم آمادگی کامل برای کاشته شدن جنین در خود را دارد و این امر میزان موفقیت بارداری را افزایش داده باعث کاهش چند قلوژی در مادران می شود.

References

1. Trounson A, Sathananthan AH: The application of electron microscopy in the evaluation of two- to four-cell

human embryos cultured in vitro for embryo transfer. J In Vitro Fert Embryo Transf 1984; 1: 153-165

2. Warner CM, Exley GE: Genetic regulation of preimplantation mouse embryo survival. *J Exp Zoo* 1998; 282: 272-279
3. Hardy K: Apoptosis in the human embryo. *Rev Reprod* 1999; 4: 125-134
4. Jurisicova A, Varmuza S, Casper RF: Involvement of programmed cell death in preimplantation embryo demise. *Hum Reprod Update* 1995; 1(6): 558-566
5. Munne S, Estop AM: Chromosome analysis of human spermatozoa stored in vitro. *Hum Reprod* 1993; 8: 581-586
6. Hardy K, Winston RML, Handyside AH: Binucleate blastomers in normally fertilized preimplantation human embryos in vitro: failure of cytokinesis during early cleavage. *J Reprod Fertil* 1993; 98: 549-558
7. Jamieson ME, Coutts JRT, Conner JM: The chromosome constitution of human preimplantation development. *Hum Reprod* 1994; 4: 125-134
8. Alikani M, Cohen J, Tomkin G: Human embryo fragmentation in vitro and its implications for pregnancy and implantation. *Fertil Steril* 1999; 71(5): 836-842
9. Ziome CA, Johnson MH: Cell surface induces polarization of mouse 8-cell blastomers at compaction. *Cell* 1980; 21: 935-942
10. Jurisicova A, Varmuza S, Casper RF: Programmed cell death and human embryo fragmentation. *Hum Reprod* 1996; 2(2): 93-98
11. Hardy K, Handyside AH, Winston RML: The human blastocyst: cell number, death and allocation during late preimplantation development in vitro. *Develop* 1989; 107: 597-604
12. Ebner T, Yaman C, Moser M: Embryo fragmentation in vitro and its impact on treatment and pregnancy outcome. *Fertil Steril* 2001; 76(2): 281-285
13. Hardson T, Caisander G, Sjogren A: A morphological and chromosomal study of blastocysts developing from morphologically suboptimal human pre-embryos compared with control blastocyst. *Hum Reprod* 2003; 18(2): 399-407
14. Vlad M, Walker D, Kennedy RC: Nuclei number in human embryos co-cultured with human ampullary cells. *Hum Reprod* 1996; 11: 1678-1680
15. Zenzes MT, Casper RF: Cytogenetics of human oocyte, zygotes and embryos after in vitro fertilization. *Hum Genet* 1992; 88: 367-375
16. Kerr JFR, Wyllie AH, Currie AR: Apoptosis: A basic histological phenomenon with wide-ranging implications in tissue kinetics. *Br J Cancer* 1972; 26: 239-257
17. Van Blerkom J, Davis P, Alexander S: A microscopic and biochemical study of fragmentation phenotypes in stage-appropriate human embryos. *Hum Reprod* 2001; 16(4): 719-729
18. Handyside AH, Hunter S: Cell division and death in the mouse blastocyst before implantation. *Roux Arch Dev Biol* 1986; 195: 519-526
19. Pierce CB, Lewellyn AL, Parchment RE: Mechanism of programmed cell death in the blastocyst. *Proc National Acad Science USA* 1989; 86: 3654-3658

